

## Влияние поверхностных ловушек на релаксацию инжектированного заряда в диэлектрических пленках

© А.А. Барыбин<sup>1</sup>, А.В. Завьялов, В.И. Шаповалов

Санкт-Петербургский государственный электротехнический университет (ЛЭТИ),  
Санкт-Петербург, Россия

E-mail: VISHapovalov@mail.ru

(Поступила в Редакцию 8 июня 2011 г.)

Аналитически решена задача релаксации заряда, инжектированного в диэлектрическую пленку, с учетом ее проводимости и захвата носителей как объемными, так и поверхностными глубокими ловушками с быстрой (практически мгновенной) зарядкой, имеющими конечные скорости разрядки. Выполнен анализ поведения заряда в однозонном и двухзонном режимах релаксации. Общие аналитические выражения дают в частных случаях ранее опубликованные результаты. Численные расчеты и анализ экспериментальных данных для пленок оксида титана, осажденных на металлические подложки, подтвердили применимость разработанной модели.

Работа выполнена при финансовой поддержке РФФИ (грант № 10-03-00845-а).

### 1. Введение

Настоящая публикация развивает ранее разработанную теорию объемной релаксации заряда в диэлектрических пленках [1]. Сложность теории вызвана нелинейностью процесса транспорта инжектированного заряда в диэлектриках и разнообразием свойств объемных ловушек, а также возможных условий практической реализации процесса. Это объясняет многообразие физических моделей разной степени сложности, встречающихся в литературе [2–15]. Для аналитического решения задачи релаксации заряда авторы указанных работ использовали следующие упрощающие предположения: 1) пренебрежение как проводимостью диэлектрика ( $\sigma = 0$ ), так и наличием объемных ловушек (концентрация  $N_t = 0$ ) (модель идеального диэлектрика) [3–5,14]; 2) пренебрежение только влиянием объемных ловушек ( $N_t = 0$ ,  $\sigma \neq 0$ ) [10,11]; 3) пренебрежение только проводимостью диэлектрика ( $\sigma = 0$ ,  $N_t \neq 0$ ) [6–9,12,13,15].

Здесь и далее обозначения соответствуют принятым в [1]<sup>1</sup>. При дальнейшем изложении в ссылках на формулы из работы [1] их номерам будет предшествовать единица с дефисом, например (1-5) для формулы (5).

Одновременное влияние проводимости и объемных ловушек на процесс релаксации инжектированного заряда было рассмотрено отдельными авторами [2,14,15] на основе численного расчета, однако они не могли дать общую физическую картину процесса. Аналитическое решение такой задачи (при  $\sigma \neq 0$  и  $N_t \neq 0$ ) впервые было достигнуто в работе [1] для глубоких объемных

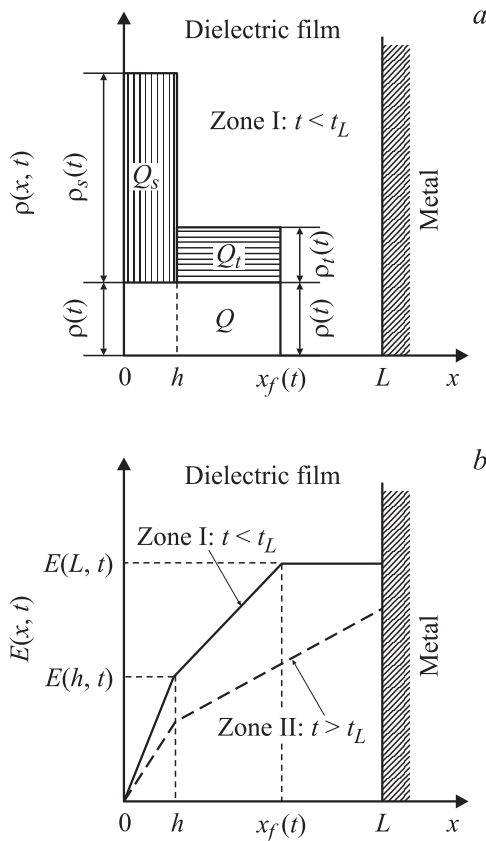
ловушек с быстрым (практически мгновенным) захватом зарядов, имеющих конечное время жизни на ловушках характеризуемое частотой разрядки  $\nu \neq 0$ . При этом мелкие объемные ловушки были учтены обычным образом [2,12] как вклад в так называемые квазисвободные носители заряда, что понижает их дрейфовую подвижность [1].

Однако ни в одной из указанных выше работ не были рассмотрены поверхностные ловушки, учет которых представляет несомненный практический интерес. Действительно, именно в приповерхностной области имеется наибольшая концентрация дефектов, способных захватывать инжектированный заряд и отличающихся своими свойствами (концентрацией  $N_s$  и частотой разрядки  $\nu_s$ ) от глубоких ловушек внутри диэлектрика (для которых соответственно имели  $N_t$  и  $\nu$  [1]). Основной целью настоящей работы является вывод дифференциального уравнения, описывающего релаксацию инжектированного заряда с одновременным учетом проводимости диэлектрика, объемных и поверхностных ловушек, а также аналитическое решение этого уравнения с применением его результатов для анализа экспериментальных данных.

### 2. Обоснование модели и вывод дифференциального уравнения

Как и в предыдущей модели [1], объектом исследования является диэлектрическая пленка (с диэлектрической проницаемостью  $\epsilon$ , проводимостью  $\sigma$  и подвижностью зарядов  $\mu$ ) толщиной  $L$ , расположенная на металлической подложке с нулевым потенциалом ( $V = 0$  при  $x = L$ ). Ранее (в отсутствие поверхностных ловушек) считали, что по всей толщине пленки ( $0 < x < L$ ) однородно распределены глубокие ловушки с объемной плотностью  $N_t$ . Со стороны свободной поверхности (при

<sup>1</sup> Отметим ошибки в [1], возникшие при наборе: 1) в строке 5 после формулы (3) для ее обоснования вместо приведенного там неравенства нужно использовать следующее:  $\tau_p/\tau_e \sim (v/v_T)^2 \ll 1$ ; 2) в строке 3 перед формулой (10) вместо приведенного там неравенства должно быть  $n_t \approx N_t$ ; 3) в формулах (16) и (20) верхний предел интегрирования равен  $t$ , а не единице.



**Рис. 1.** Распределение зарядов для временной зоны I ( $0 < t < t_L$ ) (a) и электрического поля для зон I и II (в зоне II  $t_L < t < \infty$ ) (b) по толщине диэлектрической пленки.

$x = 0$ ) в пленку инжектирован заряд  $Q_0$  (на единицу площади), рассматриваемый как однородно распределенный в приповерхностном слое малой толщины  $h \ll L$  (в пределе  $h \rightarrow 0$ ). Именно этот слой содержит поверхностные ловушки, которые практически мгновенно захватывают заряд  $Q_{s0}$  (на единицу площади), что характеризуем параметром поверхностного захвата

$$\eta_s = \frac{Q_{s0}}{Q_0}. \quad (1)$$

Полагая ловушки однородно распределенными в слое  $h$  с плотностью  $N_s$ , записываем объемную плотность захваченного заряда при  $t = 0$  в следующем виде:

$$\rho_s(x, 0) \equiv qN_s = Q_{s0}\Pi_h(x) \xrightarrow{h \rightarrow 0} Q_{s0}\delta_+(x). \quad (2)$$

Здесь введен прямоугольный импульс единичной площади  $\Pi_h(x)$ , дающий в пределе  $h \rightarrow 0$  асимметричную (одностороннюю) дельта-функцию  $\delta_+(x)$  (С. 681 в [16]),

$$\Pi_h(x) = \begin{cases} 1/h, & 0 \leq x \leq h \\ 0, & x < 0 \text{ и } x > h \end{cases} \xrightarrow{h \rightarrow 0} \delta_+(x). \quad (3)$$

Заряд  $Q_0$  наводит на металлическом электроде (при  $x = L$ ) заряд противоположного знака, что создает

электрическое поле, однородное по толщине пленки (при  $h \rightarrow 0$ ),

$$E(x, 0) \equiv E_0 = \frac{Q_0}{\epsilon}. \quad (4)$$

Это поле заставляет заряд  $Q(0) = Q_0 - Q_{s0} = Q_0(1 - \eta_s)$ , оставшийся при  $t = 0$  не захваченным ловушками (свободный заряд или квазисвободный при наличии мелких ловушек [1,2]), дрейфовать по направлению к металлическому электроду. В процессе дрейфа (при  $t > 0$ ) часть этого заряда захватывается объемными ловушками, однородно распределенными с плотностью  $N_t$  в области  $h < x < L$ . Как показал анализ [1], в пренебрежении диффузионным током (справедливость этого допущения обоснована неравенством (1-3) с учетом приведенной выше сноски) фронты движения свободных зарядов и зарядов, захваченных объемными ловушками, совпадают и описываются функцией  $x_f(t)$ . Описанная выше картина распределения зарядов качественно показана на рис. 1, a и соответствует временной зоне I (при  $t < t_L$ , где  $x_f(t_L) = L$ ), в которой фронт носителей заряда еще не достиг металлического электрода [1]. Заряды, захваченные ловушками, выделены на рис. 1, a штриховкой (вертикальной для поверхностного заряда  $Q_s$  и горизонтальной для объемного заряда  $Q_t$ ), подвижный заряд  $Q$  изображен без штриховки.

Плотности заряда  $\rho_t(t)$  и  $\rho_s(t)$ , захваченного объемными и поверхностными ловушками, изменяются во времени по экспоненциальному закону в соответствии с присущими этим ловушкам частотам разрядки  $\nu$  и  $\nu_s$  (ср. с уравнением (1-11)):

$$\rho_t(t) = qN_t \exp(-\nu t), \quad \rho_s(t) = qN_s \exp(-\nu_s t). \quad (5)$$

Разрядка ловушек подпитывает свободные электроны, увеличивая их заряд  $Q(t)$ . Однако процесс диэлектрической (максвелловской) релаксации в проводящих пленках, характеризуемый постоянной времени  $\tau_d = \epsilon/\sigma$ , уменьшает величину  $Q(t)$  (в сумме с зарядом на объемных и поверхностных ловушках). Для обоснования этого факта рассмотрим распределение электрического поля на рис. 1, b для временной зоны I (при  $t < t_L$ ). Как и ранее [1], анализируем случай разомкнутой внешней цепи в отсутствие полного тока ( $J(t) = 0$ ), состоящего из тока смещения  $J_d = \epsilon \partial E / \partial t$  и суммарного тока проводимости  $J_c^{\text{ohm}} + J_c^{\text{inj}} = \sigma E + \mu \rho E$ . Область перед движущимся фронтом зарядового пакета (при  $x_f(t) < x < L$ ) электронейтральна ( $\rho_t = 0$  и  $\rho = 0$ ), так что  $J_c^{\text{inj}} = 0$ . Здесь омический ток  $J_c^{\text{ohm}}$  компенсирует ток смещения  $J_d$ , отсюда (см. уравнение (1-23))

$$E(x, t) = E_0 \exp(-t/\tau_d) \text{ при } x_f(t) \leq x \leq L. \quad (6)$$

Из равенства (6) с учетом (4) можно найти заряд, наведенный на металле (при  $x = L$ ),

$$\begin{aligned} -Q_m(t) &= \epsilon E(L, t) = \epsilon E_0 \exp(-t/\tau_d) \\ &= Q_0 \exp(-t/\tau_d). \end{aligned} \quad (7)$$

Такой же суммарный заряд противоположного знака распределен по толщине пленки

$$Q_s(t) + Q_t(t) + Q(t) = Q_0 \exp(-t/\tau_d). \quad (8)$$

Поскольку при  $x = h$  электрическое поле  $E(h, t)$  непрерывно (рис. 1, *b*), из непрерывности суммарного тока проводимости  $J_c^{\text{ohm}} + J_c^{\text{inj}} = (\sigma + \mu\rho)E(h, t)$  следует также непрерывность плотности свободного заряда:  $\rho(h-0, t) = \rho(h+0, t)$ . Это отображено на рис. 1, *a* в форме единого светлого прямоугольника высотой  $\rho(t)$  и длиной  $x_f(t)$ .

В предыдущей работе [1] исследование процесса релаксации инжектированного заряда начиналось с вывода и аналитического решения нестационарного уравнения, описывающего распределение электрического поля  $E(x, t)$  в различных областях диэлектрической пленки с движущимся зарядовым пакетом прямоугольной формы (см. рис. 1, *a* в работе [1]). В данном случае (при наличии поверхностных ловушек) форма пакета сохраняется (рис. 1, *a*). Это позволяет упростить постановку задачи и вместо уравнения в частных производных для поля  $E(x, t)$  искать обыкновенное дифференциальное уравнение для нахождения временного положения  $x_f(t)$  фронта зарядового пакета.

На основании формулы (8) с учетом выражений (1) и (5) записываем суммарный заряд  $Q_\Sigma$ , состоящий из свободных (подвижных) зарядов  $Q$  и зарядов  $Q_t$ , захваченных объемными ловушками (в области  $h < x < x_f(t)$ ),

$$\begin{aligned} Q_\Sigma &\equiv Q + Q_t = Q_0 \exp(-t/\tau_d) - Q_s(t) \\ &= [\exp(-t/\tau_d) - \eta_s \exp(-v_s t)] Q_0. \end{aligned} \quad (9)$$

Дифференцированием равенства (9) по времени получаем

$$\frac{dQ_\Sigma}{dt} = -\sigma E_0 \exp(-t/\tau_d) + v_s \eta_s Q_0 \exp(-v_s t). \quad (10)$$

Найдем производную (10) другим способом, используя уравнения непрерывности:

1) в приповерхностном слое (при  $0 < x < h$ , рис. 1, *a*)

$$\frac{\partial}{\partial t} (\rho + \rho_s) = -\frac{\partial}{\partial x} (\sigma E + \mu\rho E); \quad (11)$$

2) в движущемся зарядовом пакете (при  $h < x < x_f(t)$ , рис. 1, *a*)

$$\frac{\partial}{\partial t} (\rho + \rho_t) = -\frac{\partial}{\partial x} (\sigma E + \mu\rho E). \quad (12)$$

Из уравнения (11) с учетом равенства (5) при  $0 < x < h$  получаем

$$\frac{\partial \rho}{\partial t} = -\frac{\partial}{\partial x} (\sigma E + \mu\rho E) + v_s \rho_s. \quad (13)$$

В соответствии с рис. 1, *a* записываем искомую производную в следующем виде:

$$\begin{aligned} \frac{dQ_\Sigma}{dt} &\equiv \frac{dQ}{dt} + \frac{dQ_t}{dt} = \frac{d}{dt} \int_0^h \rho(x, t) dx \\ &+ \frac{d}{dx} \int_h^{x_f(t)} [\rho(x, t) + \rho_t(x, t)] dx = \int_0^h \frac{\partial \rho}{\partial t} dx \\ &+ \int_h^{x_f(t)} \frac{\partial}{\partial t} (\rho + \rho_t) dx + \frac{dx_f}{dt} [\rho(x_f(t)) + \rho_t(x_f(t))]. \end{aligned} \quad (14)$$

Здесь во второй строке при дифференцировании интеграла с переменным верхним пределом использовано правило Лейбница (С. 112 в [16]).

После последнего знака равенства в (14) для первого интеграла применяем уравнение (13), а для второго интеграла — уравнение (12). В результате вычисления получаем

$$\begin{aligned} \frac{dQ_\Sigma}{dt} &= -\sigma E_0 \exp(-t/\tau_d) + v_s \rho_s(t) h - \mu\rho(x_f(t)) \\ &\times E_0 \exp(-t/\tau_d) + \frac{dx_f}{dt} [\rho(x_f(t)) + \rho_t(x_f(t))]. \end{aligned} \quad (15)$$

Здесь использованы следующие граничные условия:  $E(0, t) = 0$  (см. формулу (1-5)) и  $E(x_f(t), t) = E_0 \exp(t/\tau_d)$  (см. формулу (6)).

Приравняем (10) и (15) с учетом того, что  $Q_s(t) \equiv \rho_s(t) h = \eta_s Q_0 \exp(-v_s t)$ , тогда

$$\frac{dx_f(t)}{dt} = \frac{\rho(x_f(t))}{\rho(x_f(t)) + \rho_t(x_f(t))} \mu E_0 \exp(-t/\tau_d). \quad (16)$$

Дробь, стоящую в правой части (16), с учетом выражения (9) и того факта, что  $Q_t(t) = qN_t x_f(t) \exp(-vt)$ , можно преобразовать к следующему виду:

$$\begin{aligned} \frac{\rho(x_f(t))}{\rho(x_f(t)) + \rho_t(x_f(t))} &= \frac{Q(t)}{Q_\Sigma(t)} = 1 - \frac{Q_t(t)}{Q_\Sigma(t)} \\ &= 1 - \frac{\tau_0 x_f(t)}{\tau_t L} \frac{\exp(-vt) \exp(t/\tau_d)}{1 - \eta_s \exp(-v_s t)}. \end{aligned} \quad (17)$$

Здесь использованы ранее введенные постоянные времени [1]

$$\tau_0 = \frac{L}{\mu E_0}, \quad \tau_t = \frac{\varepsilon}{qN_t \mu}, \quad (18)$$

а также введена эффективная частота разрядки поверхностных ловушек

$$\tilde{v}_s = v_s - 1/\tau_d, \quad (19)$$

учитывающая влияние диэлектрической (максвелловской) релаксации.

Подставляя (17) в исходное уравнение (16) и вводя безразмерную длину зарядового пакета  $a(t)$ , такую что (ср. с формулой (1-19))

$$x_f(t) = La(t), \tag{20}$$

приходим к искомому дифференциальному уравнению для нахождения универсальной функции  $a(t)$  с учетом поверхностных ловушек, имеющему следующий вид:

$$\frac{da(t)}{dt} = \frac{1}{\tau_0} \exp(-t/\tau_d) - \frac{1}{\tau_i} \frac{a(t) \exp(-vt)}{1 - \eta_s \exp(-\tilde{\nu}_s t)}. \tag{21}$$

Нетрудно видеть, что в отсутствие поверхностных ловушек ( $\eta_s = 0$ ) уравнение (21) принимает ранее полученную форму (1-33). Аналитическое решение уравнения (21) выполнено в Приложении.

### 3. Анализ поведения инжектированного заряда во времени

На основании выражений (П1) и (П8)–(П10) записываем общее решение уравнения (21) в следующем виде:

$$a(t) = \frac{1/\tau_0}{f(t)f_s(t)} \int_0^t f(t')f_s(t') \exp(-t'/\tau_d) dt', \tag{22}$$

$$f(t) = \exp\left(\frac{1 - \exp(-vt)}{v\tau_i}\right), \tag{23}$$

$$f_s(t) = \exp\left(\frac{\eta_s}{\tau_i} \int_0^t \frac{\exp[-(v + \tilde{\nu}_s)t']}{1 - \eta_s \exp(-\tilde{\nu}_s t')} dt'\right). \tag{24}$$

Как видно из (22), поверхностные ловушки, учитываемые функцией  $f_s(t)$ , вносят вклад в величину  $a(t)$  мультипликативно с объемными ловушками, описываемыми функцией  $f(t)$ . Поскольку  $f_s(t) = 1$  при  $\eta_s = 0$ , в отсутствие поверхностных ловушек формула (22) принимает ранее полученный вид (1-20). Упрощенные выражения для  $f_s(t)$  в случае малого коэффициента поверхностного захвата ( $\eta_s \ll 1$ ) и в отсутствие разрядки объемных ловушек ( $v = 0$ ) приведены в Приложении (см. формулы (П11) и (П12)).

Для численного расчета по формулам (22)–(24) удобно ввести безразмерные (нормированные на величину  $\tau_0 = L/\mu E_0$ ) релаксационные параметры (в том числе и нормированное время  $\tau = t/\tau_0$ ), подобно тому как сделано в работе [1] (см. формулы (1-50)),

$$\alpha_t = \frac{\tau_0}{\tau_i}, \quad \alpha_d = \frac{\tau_0}{\tau_d}, \quad \alpha_v = v\tau_0, \quad \alpha_s = v_s\tau_0. \tag{25}$$

Тогда выражения (22)–(24) принимают следующий вид (ср. формулы (1-53) и (1-60)):

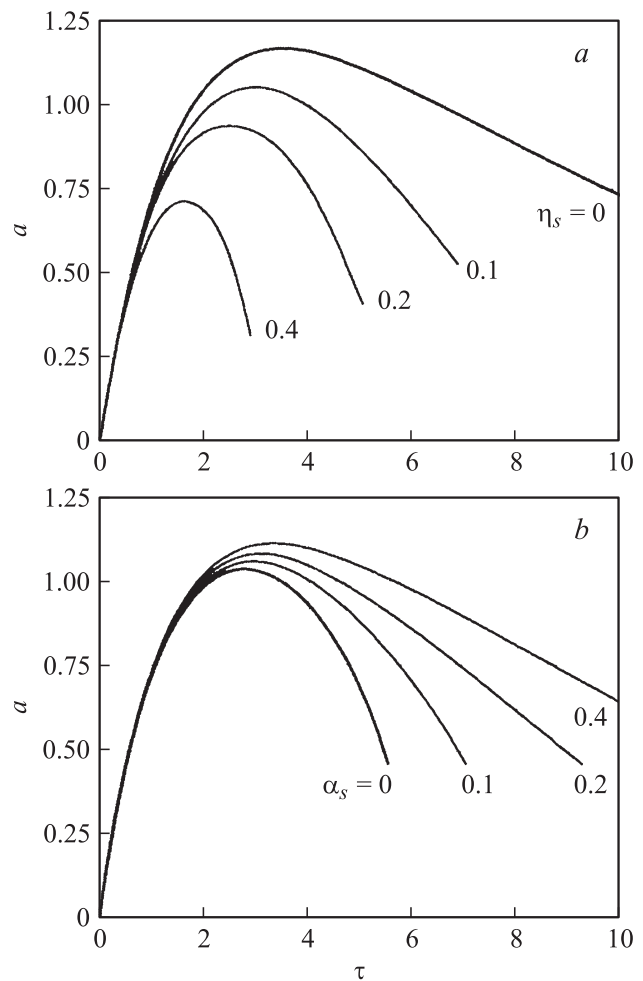
$$a(\tau) = \frac{1}{f(\tau)f_s(\tau)} \int_0^\tau f(\tau')f_s(\tau') \exp(-\alpha_d \tau') d\tau', \tag{26}$$

$$f(\tau) = \exp\left(\frac{\alpha_t}{\alpha_v} (1 - \exp(-\alpha_v \tau))\right), \tag{27}$$

$$f_s(\tau) = \exp\left(\eta_s \alpha_t \int_0^\tau \frac{\exp[-(\alpha_v + \alpha_s)\tau']}{\exp(-\alpha_d \tau') - \eta_s \exp(-\alpha_s \tau')} d\tau'\right). \tag{28}$$

Вычисления по формулам (26)–(28) были проведены для отдельных наиболее характерных случаев. На рис. 2,  $a$  и  $b$  показано влияние параметра поверхностного захвата ( $\eta_s = Q_{s0}/Q_0$ ) и нормированной частоты разрядки поверхностных ловушек ( $\alpha_s = v_s \tau_0$ ) на функцию  $a(\tau)$ . Из кривых  $a(\tau)$  видно, что они принципиально не меняют своего вида при изменении параметров  $\eta_s$  и  $\alpha_s$ : в обоих случаях наблюдается максимум, изначально имевший место при  $\eta_s = 0$  (рис. 2,  $a$ ) и  $\alpha_s = 0$  (рис. 2,  $b$ ).

Как известно из предыдущего анализа [1], кроме кривых с максимумом возможны также зависимости  $a(\tau)$  с



**Рис. 2.** Влияние параметра поверхностного захвата  $\eta_s$  ( $a$ ) и нормированной частоты поверхностной разрядки  $\alpha_s$  ( $b$ ) на функцию  $a(\tau)$ , вычисленную по формулам (26)–(28) при  $\alpha_d = 0.4$ ,  $\alpha_t = 0.3$ ,  $\alpha_v = 0.1$ ,  $\alpha_s = 0.1$  ( $a$ ) и  $\alpha_d = 0.4$ ,  $\alpha_t = 0.3$ ,  $\alpha_v = 0.1$ ,  $\eta_s = 0.1$  ( $b$ ).

насыщением (см. кривые на рис. 2 в работе [1]). В том и другом случае (и с максимумом, и с насыщением), если кривая пересекает единичный уровень ( $a = 1$ ), то процесс релаксации является двухзонным: а) при  $a < 1$  расположена зона I (где движущийся фронт заряда еще не достиг металлического контакта при  $x = L$ ); б) при  $a > 1$  расположена зона II (в которой свободный заряд достигает металла и стекает в него). Следовательно, момент времени  $t_L$ , разделяющий зоны I и II находится из равенства  $a(t_L) = 1$ . Если же максимальное значение  $a_{\max} < 1$ , то фронт заряда никогда не достигает металлического электрода по причине исчезновения подвижного заряда вследствие максвелловской релаксации. Это означает, что процесс релаксации в целом является однозонным, т.е. протекает полностью в зоне I, а зона II при этом недостижима.

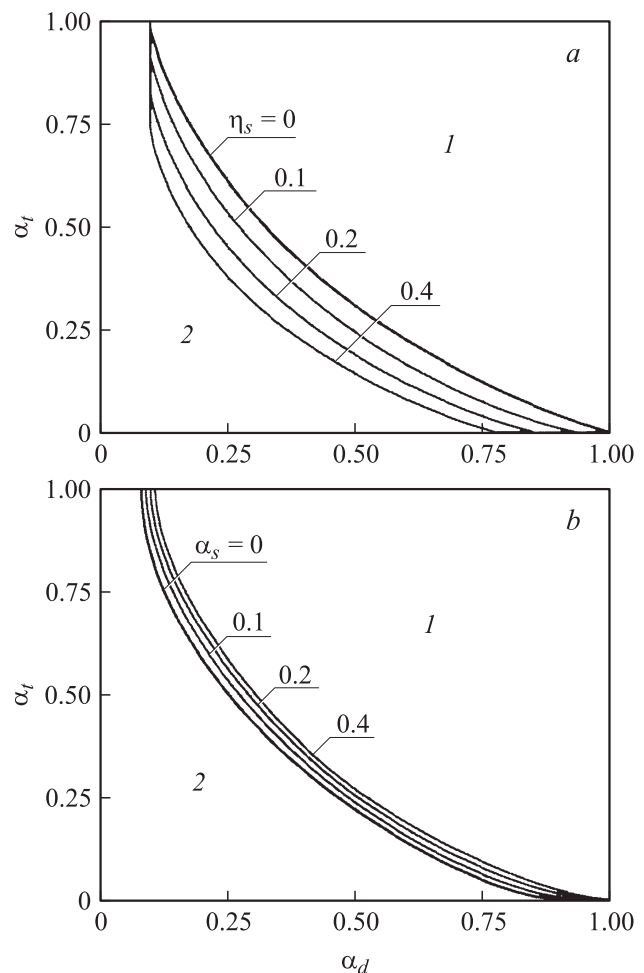
Возвращаясь к рис. 2, можно заметить, что исходные кривые, построенные соответственно при  $\eta_s = 0$  (рис. 2, а) и  $\alpha_s = 0$  (рис. 2, б), по-разному расположены на этих рисунках относительно других кривых, соответствующих  $\eta_s \neq 0$  и  $\alpha_s \neq 0$ . Увеличение  $\eta_s$  на рис. 2, а приводит к опусканию максимума, а увеличение  $\alpha_s$  на рис. 2, б — к его подъему относительно кривых  $\eta_s = 0$  и  $\alpha_s = 0$  соответственно. Обе эти кривые пересекают единичный уровень ( $a = 1$ ), т.е. изначально соответствуют двухзонному режиму. По этой причине увеличение  $\eta_s = Q_{s0}/Q_0$  на рис. 2, а переводит двухзонный режим ( $a_{\max} > 1$ ) в однозонный ( $a_{\max} < 1$ ), а увеличение  $\alpha_s = v_s \tau_0$  на рис. 2, б сохраняет двухзонный режим (при условии выбора его при  $\alpha_s = 0$  в качестве исходного, так что  $a_{\max} > 1$ ).

Полученный результат находит объяснение в рамках разработанной модели. Действительно, с увеличением параметра поверхностного захвата  $\eta_s$  остается меньшим заряд  $Q = Q_0 - Q_{s0} = Q_0(1 - \eta_s)$ , изначально (при  $t = 0$ ) подвижный и способный достичь металлического электрода, что снижает вероятность реализации двухзонного режима. Наоборот, увеличение скорости разрядки поверхностных ловушек  $\alpha_s$  подпитывает подвижный заряд (при  $t > 0$ ), увеличивая его концентрацию и повышая возможность реализации двухзонного режима.

Используем вновь полученные выражения (26)–(28) для расчета пограничных линий, разделяющих однозонный и двухзонный режимы релаксации, подобно аналогичным линиям, приведенным на рис. 3, а в работе [1]. Эти линии были построены на плоскости  $\alpha_t - \alpha_d$  релаксационных параметров. Удобство выбора величин  $\alpha_t = \tau_0/\tau_i \equiv Q_t/Q_0$  и  $\alpha_d = \tau_0/\tau_d \equiv Q_d/Q_0$  в качестве координатных осей обусловлено тем обстоятельством, что  $Q_t = qN_iL$  представляет собой максимальный заряд, который может быть захвачен объемными ловушками, а  $Q_d = qn_0L$  — максимальный заряд подвижных носителей, который может быть удален из образца в металлический контакт с помощью тока проводимости, обеспечивающего максвелловскую релаксацию.

Отсюда понятно, что при  $Q_0 \gg Q_d$  и  $Q_0 \gg Q_t$  инжектированный заряд в процессе дрейфа в условиях максвелловской релаксации и захвата на ловушки полностью не исчезает и достигает металлического электрода (двухзонный режим). При  $Q_d \leq Q_0$  или  $Q_t \leq Q_0$  весь заряд  $Q_0$  будет полностью израсходован на максвелловскую релаксацию или зарядку объемных ловушек, поэтому зона II не возникает (однозонный режим). Наличие заряда  $Q_s$ , захваченного поверхностными ловушками, способствует реализации однозонного режима, конечно, с учетом работающего в обратном направлении процесса разрядки как поверхностных, так и объемных ловушек.

Результаты расчета и построения пограничных линий на плоскости  $\alpha_t - \alpha_d$  приведены на рис. 3, а и б. При этом решалось уравнение  $a(t_L) = 1$ , вещественные корни которого соответствовали двухзонному режиму, а появление корней в области комплексных чисел ха-



**Рис. 3.** Влияние параметра поверхностного захвата  $\eta_s$  (а) и нормированной частоты поверхностной разрядки  $\alpha_s$  (б) на положение пограничной линии, разделяющей однозонный (область I) и двухзонный (область II) режимы релаксации, вычисленной по формулам (26)–(28) при  $\alpha_v = 0.1$ ,  $\alpha_s = 0.1$  (а) и  $\alpha_v = 0.1$ ,  $\eta_s = 0.1$  (б).

рактизовало переход к однозонному режиму. Рис. 3 содержит кривые, каждая из которых представляет собой совокупность точек (в виде значений параметров  $\alpha_d$  и  $\alpha_t$ , полученных при  $\alpha_v = \text{const}$ ,  $\alpha_s = \text{const}$ ,  $\eta_s = \text{const}$ ), соответствующих критическим условиям, при которых решение перемещается из действительной области в комплексную.

Как и на рис. 2, увеличение доли заряда, захваченного поверхностными ловушками (рост параметра  $\eta_s$ ), и уменьшение скорости их разрядки (снижение параметра  $\alpha_s$ ) уменьшает концентрацию свободного заряда, приводя к исчезновению зоны II. Все кривые на рис. 3, *a* и *b* (см. также рис. 3, *a* в работе [1]) лежат внутри квадрата со сторонами единичной длины ( $\alpha_t \equiv Q_t/Q_0 = 1$  и  $\alpha_d \equiv Q_d/Q_0 = 1$ ). За пределами этого квадрата (выше горизонтальной линии  $\alpha_t = 1$ , где  $Q_t > Q_0$ , и правее вертикальной линии  $\alpha_d = 1$ , где  $Q_d > Q_0$ ) всегда реализуется однозонный режим релаксации. Такой же режим имеет место и внутри квадрата для области, лежащей правее соответствующей пограничной кривой. Область, лежащая левее каждой кривой (когда  $Q_t < Q_0$  и  $Q_d < Q_0$ ), отвечает условиям при которых возникает двухзонный режим релаксации.

С увеличением  $\eta_s$  (т.е. при большем заряде, захваченном поверхностными ловушками) уменьшается концентрация свободных носителей заряда, а это сужает область значений других параметров среды, при которых возникает двухзонный режим релаксации. С увеличением скорости разрядки поверхностных ловушек (т.е. с ростом  $\alpha_s$ ) возникает противоположный эффект: из-за увеличения концентрации свободных носителей расширится область значений параметров среды, доступных для возникновения двухзонного режима. Из сравнения кривых на рис. 3, *a* и *b* видно, что рост параметра  $\eta_s$  приводит к сдвигу пограничной линии в область меньших значений  $\alpha_d$  существенно заметнее, чем сдвиг в область больших значений  $\alpha_d$ , вызванный увеличением параметра  $\alpha_s$ .

#### 4. Аналитические выражения и численные расчеты в сравнении с результатами эксперимента

Запишем суммарную плотность заряда  $\rho_\Sigma(t)$ , состоящего из свободного ( $\rho$ ) и захваченного объемными ловушками ( $\rho_l$ ) зарядов, общий движущийся фронт которых в момент времени  $t$  располагается при  $x_f(t)$  в виде (20). Из формулы (9) для  $Q_\Sigma(t) = \rho_\Sigma(t)x_f(t)$  с учетом предельного перехода (3) следует выражение (ср. формулы (1-26) и (1-30))

$$\rho_\Sigma(t) = \frac{Q_0}{L} \frac{\exp(-t/\tau_d)}{a_s(t)}. \quad (29)$$

Здесь вместо функции  $a(t)$  в форме (22) введена результирующая функция

$$a_s(t) = \frac{a(t)}{1 - \eta_s \exp(-\tilde{v}_s t)}, \quad (30)$$

учитывающая захват электронов поверхностными ловушками и их разрядку с эффективной частотой (19).

Однородное распределение заряда в форме (29) (рис. 1, *a*) позволяет решить уравнение  $\partial E(x, t)/\partial x = -\rho_\Sigma(t)/\epsilon$ , используя граничное условие (рис. 1, *b*),

$$E_s(t) \equiv \lim_{h \rightarrow 0} E(h, t) = \frac{Q_s(t)}{\epsilon} = \frac{Q_{s0}}{\epsilon} \exp(-v_s t) = E_0 \eta_s \exp(-v_s t). \quad (31)$$

Результат такого решения имеет следующий вид (ср. формулы (1-25) и (1-29)):

$$E(x, t) = \left( \eta_s \exp(-\tilde{v}_s t) + \frac{x}{La_s(t)} \right) E_0 \exp(-t/\tau_d). \quad (32)$$

Следует отметить, что формулы (29) и (32) справедливы не только для временной зоны I (когда  $t < t_L$ ), но и для зоны II (когда  $t > t_L$ ). Различие между ними состоит в том, что в первом случае  $a(t) < 1$ , а во втором случае  $a(t) > 1$ .

На основе распределения электрического поля (32), графически изображенного на рис. 1, *b* (сплошной линией для зоны I и штриховой линией для зоны II), легко найти поверхностный потенциал пленки как площадь под указанными выше ломаными линиями для предельного случая (31) (ср. формулы (1-27) и (1-31))

$$V(t) = \begin{cases} V_0 \left( 1 - \frac{a(t)}{2} [1 - \eta_s \exp(-\tilde{v}_s t)] \right) \times \exp(-t/\tau_d) & \text{для зоны I,} \\ V_0 \left( \eta_s \exp(-\tilde{v}_s t) + \frac{1 - \eta_s \exp(-\tilde{v}_s t)}{2a(t)} \right) \times \exp(-t/\tau_d) & \text{для зоны II.} \end{cases} \quad (33)$$

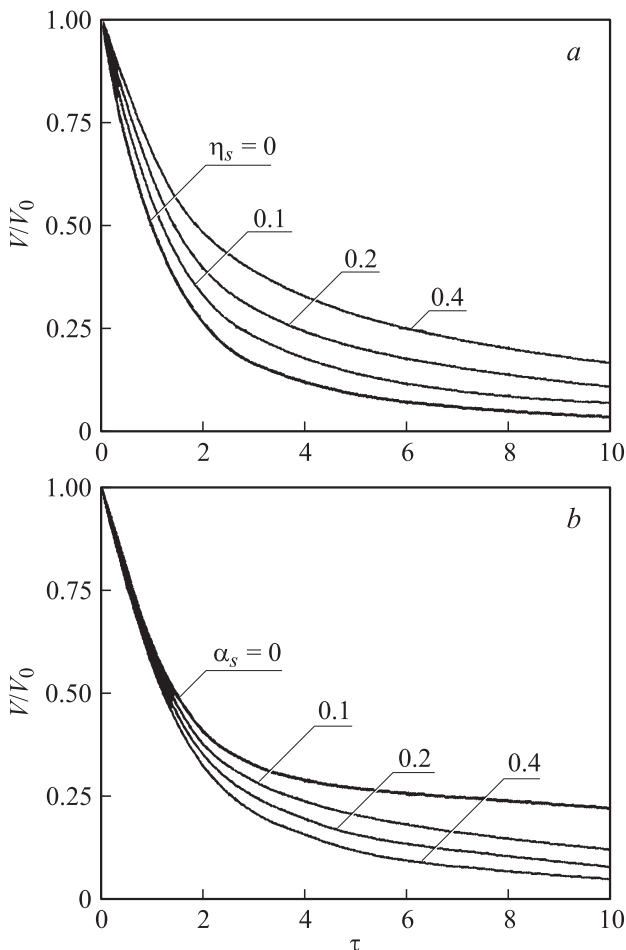
Для численных расчетов используем выражения (33), переписанные через нормированные релаксационные параметры (25) в следующем виде (ср. с формулой (1-59)):

$$\frac{V(\tau)}{V_0} = \begin{cases} \left( 1 - \frac{a(\tau)}{2} [1 - \eta_s \exp((\alpha_d - \alpha_s)\tau)] \right) \times \exp(-\alpha_d \tau) & \text{для зоны I,} \\ \left( \eta_s \exp((\alpha_d - \alpha_s)\tau) + \frac{1 - \eta_s \exp((\alpha_d - \alpha_s)\tau)}{2a(\tau)} \right) \times \exp(-\alpha_d \tau) & \text{для зоны II.} \end{cases} \quad (34)$$

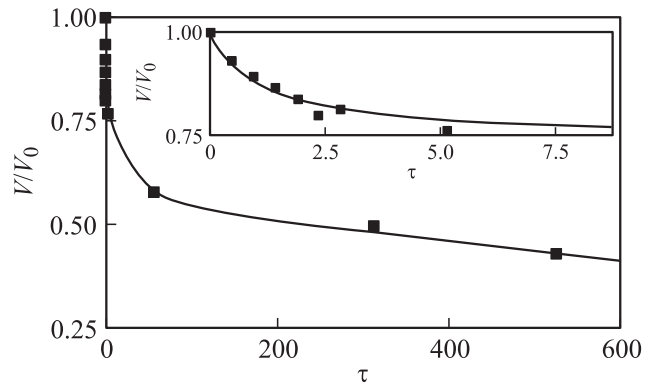
Следует обратить внимание на тот факт, что в формулах (33) и (34) вместо функции (30) использованы функции  $a(t)$  и  $a(\tau)$  (без нижнего индекса  $s$ ), при этом  $V_0 = E_0 L$  — поверхностный потенциал пленки при  $t = 0$ .

Нетрудно убедиться в том, что формулы (29) и (32)–(34), полученные в рамках новой модели с поверхностными ловушками, превращаются при  $\eta_s \rightarrow 0$ , когда  $a_s(t) \rightarrow a(t)$ , в указанные выше формулы работы [1].

Результаты численных расчетов по формулам (34) приведены на рис. 4, *a* и *b*. Они показывают влияние параметра поверхностного захвата  $\eta_s$  (рис. 4, *a*) и нормированной частоты поверхностной разрядки  $\alpha_s$  (рис. 4, *b*) на релаксацию поверхностного потенциала  $V(\tau)$ . Как и следовало ожидать, увеличение  $\eta_s$  (рост доли заряда, захваченного поверхностными ловушками) уменьшает подвижный (свободный) заряд и снижает скорость релаксации, а увеличение  $\alpha_s$  (рост скорости разрядки поверхностных ловушек) дает противоположный эффект. Это объясняется тем, что величина электрического поля (а значит, и поверхностный потенциал) определяется полным зарядом в пленке (свободным и захваченным), а процесс релаксации вызван движением свободного заряда. Поэтому захват заряда (рост  $\eta_s$ ) и его удержание (уменьшение  $\alpha_s$ ) поверхностными ловушками снижают темп релаксации, что и демонстрируют кривые на рис. 4, *a* и *b*.



**Рис. 4.** Влияние параметра поверхностного захвата  $\eta_s$  (*a*) и нормированной частоты поверхностной разрядки  $\alpha_s$  (*b*) на релаксацию нормированного поверхностного потенциала  $V/V_0$ , вычисленного по формуле (34) при  $\alpha_d = 0.1$ ,  $\alpha_l = 0.1$ ,  $\alpha_v = 0.1$ ,  $\alpha_s = 0.1$  (*a*) и  $\alpha_d = 0.1$ ,  $\alpha_l = 0.1$ ,  $\alpha_v = 0.1$ ,  $\eta_s = 0.2$  (*b*).



**Рис. 5.** Зависимость относительной величины поверхностного потенциала  $V/V_0$  от нормированного времени  $\tau = t/\tau_0$ , построенная по формуле (34), и экспериментальные точки, полученные для оксида титана.

Разработанная модель, учитывающая как объемные, так и поверхностные ловушки, была использована нами для обработки экспериментальных результатов, полученных на пленках оксида титана, с целью определения релаксационных параметров структуры. Наблюдение за релаксацией инжектированного заряда проводили, измеряя значения поверхностного потенциала  $V^*(t_i)$  в моменты времени  $t_i$  ( $i = 0, 1, 2, \dots$ ) и отмечая их звездочкой, чтобы отличить от теоретической кривой  $V(t)$ .

Задача состоит в определении релаксационных параметров пленки, которые обеспечивают наилучшее приближение теоретической кривой  $V(t)$  к экспериментальным результатам  $V^*(t_i)$  в рамках выбранного критерия. В качестве меры близости функций  $V(t)$  и  $V^*(t_i)$  принимаем их суммарное квадратическое отклонение по всем значениям  $t_i$ , а в качестве критерия выбираем глобальный минимум этой меры в пространстве независимых факторов, а именно релаксационных параметров модели ( $\tau_0, \tau_l, \tau_d, \nu, \nu_s, \eta_s$ ):

$$\Delta^2 = \sum_i [V(\tau_0, \tau_l, \tau_d, \nu, \nu_s, \eta_s; t_i) - V^*(t_i)]^2 = \min.$$

Таким образом, задача сведена к типовой процедуре оптимизации, которую обычно решают градиентным методом [17]. Результаты экспериментальных измерений приведены на рис. 5 (где вставка показывает начальные моменты времени с сохранением масштаба по вертикальной оси). Их математическая обработка по описанной методике дает набор релаксационных параметров пленки, приведенный в таблице.

Релаксационные параметры пленки  $\text{TiO}_2$

$\tau_0, 10^3 \text{ s}$	$\tau_l, 10^3 \text{ s}$	$\tau_d, 10^6 \text{ s}$	$\nu, 10^{-4} \text{ s}^{-1}$	$\nu_s, 10^{-7} \text{ s}^{-1}$	$\eta_s$
1.28	3.2	1.28	3.1	4.5	0.58

### 5. Заключение

Разработана модель релаксации заряда, инжектированного в диэлектрическую пленку, которая базируется на общеизвестных транспортных уравнениях с учетом проводящих свойств среды и влияния как объемных, так и поверхностных ловушек. Для ловушек использована модель быстрой (практически мгновенной) зарядки и медленной разрядки, характеризуемой частотами  $\nu$  и  $\nu_s$  для объема и поверхности.

Новая поверхностная модель релаксации обобщает результаты работы [1]. В частности, вновь полученные соотношения принципиально сохраняют старую структуру объемной модели с заменой универсальной функции  $a(t)$ , подчиняющейся уравнениям (22)–(24), на новую функцию  $a_s(t)$  в форме (30).

Полученное решение описывает процесс релаксации во времени в виде двух последовательно смещающихся зон, когда движущийся фронт заряда достигает металлического контакта (зона I) и подвижный заряд начинает стекать в него (зона II). Наряду с двухзонным режимом релаксации возможен однозонный режим, при котором подвижные носители будут полностью израсходованы за счет максвелловской релаксации и зарядки ловушек, не доходя до металла. Влияние параметра поверхностного захвата  $\eta_s$  и нормированной частоты поверхностной разрядки  $\alpha_s$  на пограничные линии, разделяющие однозонный и двухзонный режимы, находит корректное физическое объяснение.

Аналитические выражения для поверхностного потенциала (33) и (34) позволяют выполнить численный анализ различных физических ситуаций, связанных с поведением инжектированных зарядов в диэлектрической пленке. В частности, они принимают упрощенные формы, ранее полученные другими авторами в пренебрежении вкладом проводимости или глубоких объемных ловушек. Применение выражения для поверхностного потенциала с учетом вклада поверхностных ловушек к анализу экспериментальных данных для пленок оксида титана позволило оценить их релаксационные параметры.

### 6. Приложение. Решение дифференциального уравнения (21)

Вводим новую функцию времени  $\tilde{a}(t)$ , такую что

$$a(t) = \tilde{a}(t) \exp(-t/\tau_d), \tag{П1}$$

для которой исходное уравнение (21) принимает следующий вид:

$$\frac{d\tilde{a}(t)}{dt} + p(t)\tilde{a}(t) - \frac{1}{\tau_0} = 0, \tag{П2}$$

где (см. формулы (18) и (19))

$$p(t) = -\frac{1}{\tau_d} + \frac{\exp(-\nu t)}{\tau_t} + \frac{\eta_s}{\tau_t} \frac{\exp(-\nu t)}{\exp(\tilde{\nu}_s t) - \eta_s}. \tag{П3}$$

Нетрудно убедиться в том, что решение уравнения (П2) имеет вид

$$\tilde{a}(t) = \frac{\exp[-u(t)]}{\tau_0} \int_0^t \exp[u(t')] dt', \tag{П4}$$

где

$$u(t) = \int_0^t p(t') dt'. \tag{П5}$$

Постоянная интегрирования в выражении (П4), найденная из начального условия  $x_f(0) = h$ , при предельном переходе (3) обращается в нуль.

Подстановка (П3) под интеграл (П5) приводит к следующему выражению:

$$u(t) = -\frac{t}{\tau_d} + \frac{1 - \exp(-\nu t)}{\nu \tau_t} + \frac{\eta_s}{\tau_t} \int_0^t \frac{\exp(-\nu t') dt'}{\exp(\tilde{\nu}_s t') - \eta_s}. \tag{П6}$$

Отсюда

$$\exp[u(t)] = \exp(-t/\tau_d) f(t) f_s(t), \tag{П7}$$

где введены обозначения

$$f(t) = \exp\left(\frac{1 - \exp(-\nu t)}{\nu \tau_t}\right), \tag{П8}$$

$$f_s(t) = \exp\left(\frac{\eta_s}{\tau_t} \int_0^t \frac{\exp(-\nu t') dt'}{\exp(\tilde{\nu}_s t') - \eta_s}\right). \tag{П9}$$

Подставляя (П7) в (П4), получаем искомое решение уравнения (П2)

$$\tilde{a}(t) = \frac{\exp(t/\tau_d)}{\tau_0} \frac{1}{f(t) f_s(t)} \int_0^t f(t') f_s(t') \exp(-t'/\tau_d) dt'. \tag{П10}$$

Величины  $\tau_0$ ,  $\tau_t$  и  $\tilde{\nu}_s$  определены формулами (18) и (19), при этом  $\tau_d = \varepsilon/\sigma$ .

Интеграл, входящий в формулу (П9), в общем случае не может быть вычислен, но выражается через элементарные функции в двух частных случаях.

1. Малый коэффициент поверхностного захвата ( $\eta_s \ll \exp(\tilde{\nu}_s t)$ ):

$$f_s(t) = \exp\left(\frac{\eta_s}{\tau_t} \frac{1 - \exp[-(\nu + \tilde{\nu}_s)t]}{\nu + \tilde{\nu}_s}\right). \tag{П11}$$

2. Отсутствие разрядки объемных ловушек ( $\nu = 0$  и  $f(t) = \exp(t/\tau_t)$ ):

$$f_s(t) = \exp(-t/\tau_t) \left(\frac{\exp(\tilde{\nu}_s t) - \eta_s}{1 - \eta_s}\right)^{1/\tilde{\nu}_s \tau_t}, \tag{П12}$$

при этом для вычисления интеграла в (П9) была использована формула 2.313.1 из [18].

## Список литературы

- [1] А.А. Барыбин, В.И. Шаповалов. ФТТ **50**, 781 (2008).
- [2] A. Many, G. Rakavy. Phys. Rev. **126**, 1980 (1962).
- [3] H.J. Wintle. J. Appl. Phys. **41**, 4004 (1970).
- [4] I.P. Batra, K.K. Kanazawa, H. Seki. J. Appl. Phys. **41**, 3416 (1970).
- [5] I.P. Batra, K.K. Kanazawa, B.H. Schechtman, H. Seki. J. Appl. Phys. **42**, 1124 (1971).
- [6] H. Seki, I.P. Batra. J. Appl. Phys. **42**, 2407 (1971).
- [7] H.J. Wintle. J. Appl. Phys. **42**, 4724 (1971).
- [8] А.И. Руденко. ФТП **5**, 2383 (1971).
- [9] H.J. Wintle. J. Appl. Phys. **43**, 2927 (1972).
- [10] K.K. Kanazawa, I.P. Batra, H.J. Wintle. J. Appl. Phys. **43**, 719 (1972).
- [11] H.J. Wintle. Thin Solid Films **21**, 83 (1974).
- [12] P.W. Chudleigh. Appl. Phys. Lett. **48**, 4591 (1977).
- [13] В.И. Архипов, А.И. Руденко. ФТП **16**, 1798 (1982).
- [14] В.В. Брыскин, Л.И. Коровин, Ю.И. Кузьмин. ФТТ **28**, 148 (1986).
- [15] В.В. Брыскин, Л.И. Коровин, Ю.И. Кузьмин. ФТТ **29**, 1323 (1987).
- [16] Г. Корн, Т. Корн. Справочник по математике для научных работников и инженеров. Наука, М. (1968). 720 с.
- [17] Ю.П. Адлер, Е.В. Маркова, Ю.В. Грановский. Планирование эксперимента при поиске оптимальных условий. Наука, М. (1976). 220 с.
- [18] И.С. Градштейн, И.М. Рыжик. Таблицы интегралов, сумм, рядов и произведений. Наука, М. (1971). С. 106.